

19. Winer J. A. Identification and structure of neurons in the medial geniculate body projecting to primary auditory cortex (A1) in the cat // Neuroscience.—1984.—13, N 2.—P. 395—413.
20. Winer J. A., Diamond I. T., Raczkowsky D. Subdivisions of the auditory cortex of the cat: The retrograde transport of horseradish peroxidase to the medial geniculate body and posterior thalamic nuclei // J. Comp. Neurol.—1977.—176, N 3.—P. 387—418.

Ин-т физиологии им. А. А. Богомольца  
АН УССР, Киев

Материал поступил в редакцию 04.04.89

УДК 612.825.5:612.822.3

В. А. Радионов, В. Ф. Прокопенко

## **Реакции нейронов двигательной области коры головного мозга кошки на стимуляцию волокон пирамидного тракта иентрального постлератерального ядра таламуса**

Электрические реакции нейронов двигательной области коры головного мозга на антидромное раздражение волокон пирамидного тракта изучены достаточно детально. Показано, что в ответ на такое раздражение у нейронов моторной коры (M1) возникают возбуждение и тормозящие ответы [2, 7, 11, 12]. Определена роль возвратных аксонных коллатералей и тормозящих интернейронов в возникновении этих реакций. Ответы нейронов M1 на электрическое раздражение вентрального постлератерального ядра таламуса также достаточно подробно проанализированы некоторыми авторами [1, 10]. Однако сопоставительный анализ особенностей реакций нейронов M1 на раздражение этих двух входов не проводили, хотя такого рода сведения представляют значительный интерес с точки зрения особенностей синаптической активации нейронов данной зоны неокортика восходящими афферентами со стороны сенсорного релейного ядра или возвратными коллатералями аксонов пирамидных клеток.

Цель нашей работы — провести сравнительный анализ реакций нейронов M1 на раздражения волокон пирамидного тракта (ПТ) и вентрального постлератерального ядра таламуса (ВПЛЯ).

### **Методика**

Опыты проведены на 30 половозрелых кошках массой 1,9—3,5 кг, наркотизированных калипсолом (25 мг/кг) внутримышечно и обездвиженных внутривенным введением раствора миорелаксина (2 мг/мл). Трахеотомию, катетеризацию бедренной вены, двусторонний пневмоторакс и подготовительные операции на черепе, включая дренирование большой затылочной цистерны, проводили после дополнительной анестезии мягких тканей 0,5 %-ным раствором новокаина. Животных обездвиживали и переводили на искусственное дыхание.

Отведение реакций отдельных нейронов моторной коры (поле 4v) на электрическую стимуляцию волокон ПТ и ВПЛЯ производили стеклянными микроэлектродами сопротивлением 50—150 МОм, заполненными 3 моль/л К<sup>+</sup>-ацетатом. Для стимуляции структур мозга использовали bipolarные никромовые электроды (межэлектродное расстояние 0,5—1,5 мм), которые вводили в раздражаемые структуры на стороне отведения в точки с координатами, согласно атласу Джаспер и Аймон-Марсана: ПТ—4,0; 4,0; Н 6,0; ВПЛЯ—9,5; 6,5; Н О. Физиологическим контролем попадания электродов в эти структуры было появление специфических коротколатентных вызванных потенциалов в коре мозга. Силу стимуляции во время исследования активности нейронов M1 подбирали таким образом, что она в 3 раза превышала пороговую для возникновения вызванных потенциалов. При этом раздражалось большинство волокон ПТ, а при

стимуляции ВПЛЯ диаметр эффективно раздражаемого пространства не превышал 1,0 мм.

В конце опыта животное умерщвляли внутривенным введением тиопентала, мозг извлекали и фиксировали в 10 %-ном растворе формалина. Точность попадания раздражающих электродов в заданные структуры определяли на фронтальных срезах мозга толщиной 100 мкм.

## Результаты

Реакции на стимуляцию волокон ПТ обнаружены у 177 из 221 исследованного нейрона M1. При внеклеточном отведении эти ответы состояли обычно из двухфазных анти- и (или) ортодромных потенциалов действия (ПД) амплитудой 0,5—6,0 мВ. При внутриклеточном отведении

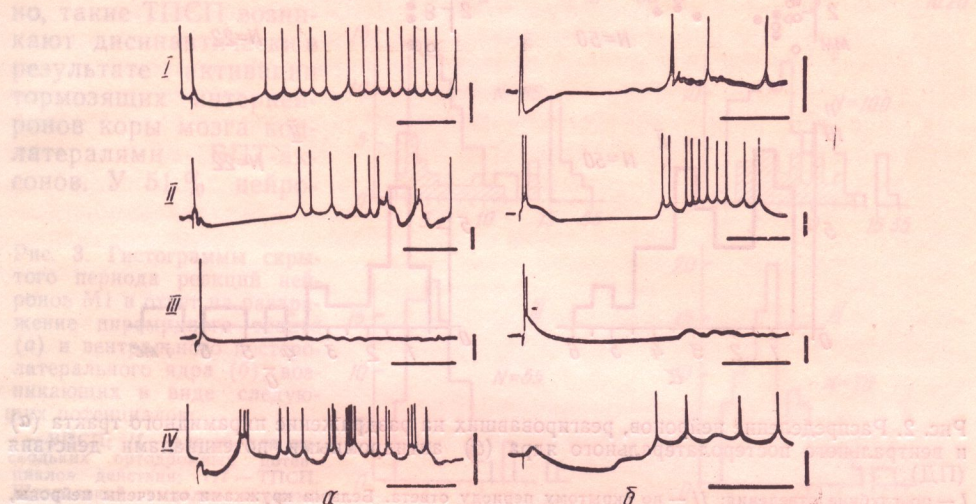


Рис. 1. Внутриклеточные отведения реакций нейронов M1 на раздражения пирамидного тракта (а) и вентрального постеролатерального ядра (б):  
I—IV — разные виды реакций (объяснение в тексте). Калибровка: 100 мс, 20 мВ.

ответы нейронов M1 имели вид различных последовательностей: антидромный ПД — ВПСП, антидромный ПД — ВПСП — ТПСП, антидромный ПД — ТПСП, ВПСП — ТПСП и первичный ТПСП (рис. 1).

Ответы в виде антидромных ПД найдены у 50 из 221 (22,6 %) нейрона. Распределение значений скрытых периодов антидромных ПД, представленное на рис. 2, свидетельствует о наличии среди ПТ-нейронов, посылающих свои аксоны в составе пирамидного тракта, двух популяций нервных клеток, отличающихся разной скоростью проведения по аксонам: быстропроводящих нейронов пирамидного тракта (БПТ), скрытый период антидромных ПД у которых варьировал в наших опытах от 0,5 до 1,7 мс (20 нервных клеток), а скорость проведения по аксонам — от 20 до 70 м/с, и медленнопроводящих нейронов пирамидного тракта (МПТ), у которых скрытый период антидромных ПД составлял 1,8—5,5 мс, а скорость проведения по аксонам была меньше 20 м/с.

У 75 из 162 нейронов M1 (46,3 %) при внутриклеточном отведении в ответ на раздражение волокон ПТ возникали ВПСП. В 14 случаях им предшествовали антидромные ПД, а у 61 нервной клетки ВПСП возникали первично. Амплитуда ВПСП варьировала от 1,0 до 14,0 мВ, время нарастания — от 0,5 до 20,0 мс, а продолжительность — от 5,0 до 75 мс. При этом средняя продолжительность ВПСП у БПТ-нейронов более чем в 2 раза превышала таковую у МПТ-нейронов ( $29,6 \pm 4,6$  и  $12,6 \text{ мс} \pm 3,2$  мс, соответственно).

Скрытый период ВПСП, возникавших в ответ на раздражение волокон ПТ, варьировал от 1,1 до 40,0 мс (рис. 3, а, I). У 20 % зарегистри-

рованных ВПСП скрытый период не превышал 2,4 мс. Если учесть время проведения возбуждения по аксонам БПТ-нейронов, которое изменялось от 0,5 до 1,7 мс, то можно полагать, что все эти ВПСП возникали вследствие активации возвратных коллатералей БПТ-аксонов после одного синаптического переключения. Внутрикорковая задержка проведения составляла при этом 0,6—1,9 мс. Среди нейронов с такими

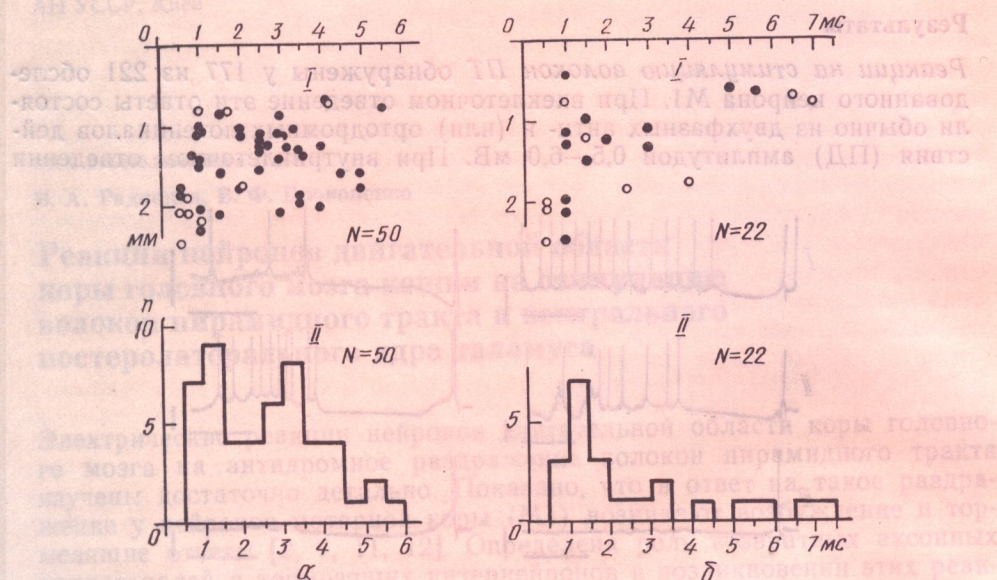


Рис. 2. Распределение нейронов, реагировавших на раздражение пирамидного тракта (а) и вентрального постеролатерального ядра (б) антидромными потенциалами действия (ПД):

I — по глубине отведения; II — по скрытому периоду ответа. Белыми кружками отмечены нейроны, отвечающие антидромными ПД на оба раздражения

моносинаптическими ВПСП, были 10, у которых не установлена проекция аксона, а также 2 БПТ-, 1 МПТ- и 2 нейрона, аксоны которых проецировались в таламус — кортико-таламические (КТ) нейроны.

У 53,3 % ВПСП скрытый период колебался от 3,0 до 7,4 мс (см. рис. 3, а, I). Можно предположить, что реакции этой группы возникали вследствие активации коллатералей МПТ-аксонов (моносинаптически) и в результате возбуждения возвратных коллатералей БПТ-волокон (после двух-трех синаптических переключений в коре мозга). Такие ВПСП обнаружены у 35 нейронов, проекция аксонов которых не установлена, 2 БПТ- и 3 МПТ-нейронов.

Реакции в виде одного или нескольких (2—6) ортодромных ПД найдены при внеклеточном и внутриклеточном отведении у 85 из 160 обследованных нейронов. Их латентный период (ЛП) изменялся от 2 до 50 мс (рис. 3, а, II). Эти ответы встречались у 66 нейронов без установленной проекции аксона, у 13 ПТ- и 6 КТ-нейронов. Необходимо отметить, что ответы, состоящие из нескольких ортодромных ПД на предъявленные раздражения, встречались у нервных клеток, принадлежавших ко всем вышеупомянутым группам.

Тормозные реакции в виде ТПСП и тормозной паузы зарегистрированы у 121 из 162 нейронов М1 (74,7 %). В 17 случаях эти реакции следовали за антидромными ПД, у 14 нейронов — за антидромным и ортодромным возбуждением и у 40 — за ВПСП. В 50 случаях ТПСП возникали первично. Амплитуда ТПСП варьировала от 2 до 11 мВ и зависела от уровня мембранныго потенциала. У 8 нейронов без установленной проекции аксона и 6 ПТ-нейронов ТПСП были двухкомпонентными: внутри таких ТПСП наблюдали кратковременные колебания, уменьшавшие поляризацию нейрона на 1—25 мВ; их амплитуда,

таким образом, в отдельных случаях могла превышать амплитуду ТПСП. На вершинах таких деполяризационных колебаний иногда возникали ПД.

Распределение значений скрытых периодов первичных ТПСП, представленное на рис. 3, *a*, III, показывает, что такие реакции возникают у 40 % нервных клеток через 2—7 мс после стимуляции ПТ. К этим нервным клеткам относятся 15 нейронов без установленной проекции аксона, 5 ПТ- и 2 КТ-нейрона. Вероятно, такие ТПСП возникают дисинаптически в результате активации тормозящих интернейронов коры мозга коллатералами БПТ-аксонов. У 51 % нейро-

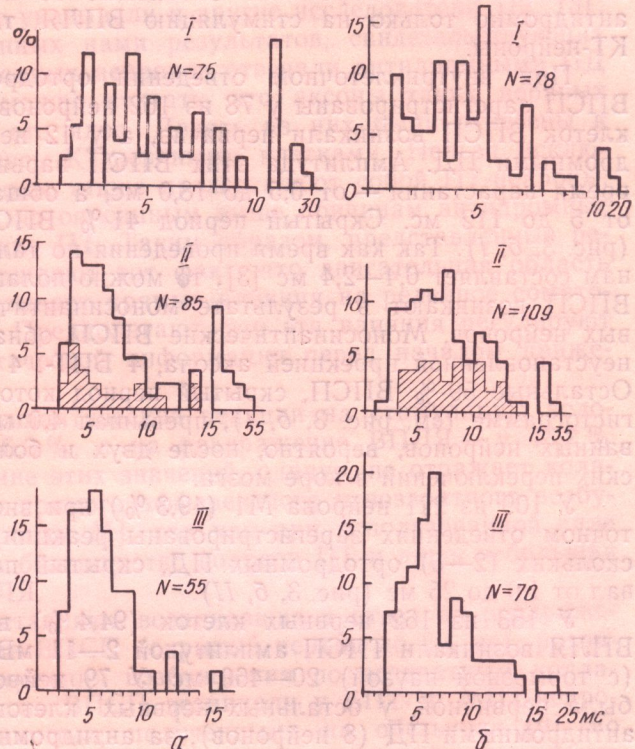


Рис. 3. Гистограммы скрытого периода реакций нейронов M1 в ответ на раздражение пирамидного тракта (*a*) и вентрального постлератерального ядра (*b*), возникающих в виде следующих потенциалов:

*I* — ТПСП; *II* — одного или нескольких ортодромных потенциалов действия; *III* — ТПСП. Штриховкой выделен скрытый период реакции в виде 2—6 потенциалов.

нов (21 нейрон без установленной проекции аксона, 5 ПТ и 2 КТ-нейрона) скрытый период ТПСП варьировал от 5 до 8 мс. ТПСП этой группы могли возникать дисинаптически — в результате активации тормозящего нейрона коллатералами МТП-аксонов или после трех синаптических переключений в коре мозга, если интернейроны возбуждались коллатералами БПТ-аксонов. В ряде случаев тормозная пауза, во время которой наблюдало угнетение фоновой импульсной активности нейрона (но гиперполяризационный потенциал не был выражен), превышала по продолжительности ТПСП, которым она начинилась (см. рис. 1, *a*, *II*).

Анализ гистограммы продолжительности тормозных реакций (рис. 4,

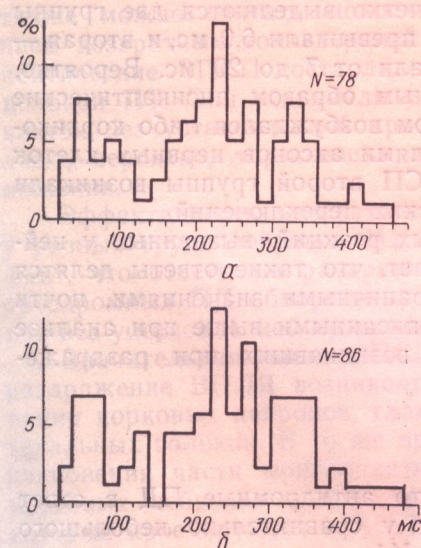


Рис. 4. Гистограммы продолжительности тормозных реакций нейронов M1 на стимуляцию пирамидного тракта (*a*) и вентрального постлератерального ядра (*b*).

а) позволяет разделить их на три выраженные группы: первую — продолжительностью до 100 мс, вторую — 100—290 мс и третью — 300—400 мс. Реакции первой группы чаще встречаются у нейронов нижних, а реакции второй и третьей групп — у нервных клеток верхних слоев M1.

Ответы на раздражение ВПЛЯ обнаружены у 204 из 221 обследованного нейрона M1. Эти ответы, зарегистрированные при внеклеточном и внутриклеточном отведении, имели вид, подобный описанному выше у реакций на стимуляцию волокон ПТ. Ответы в виде антидромных ПД обнаружены у 22 из 221 нейрона M1 (9,9%). При этом 9 из 22 являлись ПТ-нейронами. Остальные 13 нервных клеток отвечали антидромно только на стимуляцию ВПЛЯ, т. е. представляли собой КТ-нейроны.

При внутриклеточном отведении ортодромные реакции в виде ВПСП зарегистрированы у 78 из 162 нейронов (48,2%). У 66 нервных клеток ВПСП возникали первично, а у 12 нейронов — вслед за антидромными ПД. Амплитуда этих ВПСП варьировалась от 1 до 16 мВ, время нарастания — от 0,5 до 18,0 мс, а общая продолжительность — от 5 до 112 мс. Скрытый период 41% ВПСП не превышал 3,9 мс (рис. 3, б, I). Так как время проведения по таламо-кортикалным аксонам составляет 0,4—2,4 мс [3], то можно полагать, что вышеописанные ВПСП возникают в результате моносинаптической активации корковых нейронов. Моносинаптические ВПСП обнаружены у 21 нейрона с неустановленной проекцией аксона, 4 БПТ-, 4 МПТ- и 3 КТ-нейронов. Остальные 59% ВПСП, скрытый период которых, представленный на гистограмме (см. рис. 3, б, I), превышал 4,0 мс, возникали у обследованных нейронов, вероятно, после двух и большего числа синаптических переключений в коре мозга.

У 109 из 221 нейрона M1 (49,3%) при внеклеточном и внутриклеточном отведении зарегистрированы реакции в виде одного или нескольких (2—6) ортодромных ПД, скрытый период которых вырывался от 1,0 до 25 мс (рис. 3, б, II).

У 153 из 162 нервных клеток (94,4%) в ответ на раздражение ВПЛЯ возникали ТПСП амплитудой 2—11 мВ и продолжительностью (с тормозной паузой) 20—460 мс. У 79 нейронов тормозная реакция была первичной, у остальных нервных клеток ТПСП следовали за антидромными ПД (8 нейронов), за антидромным и ортодромным возбуждением (12 нейронов) или за ВПСП (54 нейрона). В 17 случаях (в том числе у 3 ПТ- и 1 КТ-нейрона) ТПСП были двухкомпонентными. Время нарастания первичных ТПСП изменялось от 2 до 40 мс.

На гистограмме, представляющей распределение значений скрытого периода (рис. 3, б, III), достаточно четко выделяются две группы ТПСП: первая — ТПСП, ЛП которых не превышали 6,0 мс, и вторая — ТПСП, значения ЛП которых варьировали от 7 до 20 мс. Вероятно, первую группу ТПСП составляли главным образом дисинаптические ТПСП (тормозящий интернейрон при этом возбуждался либо кортико-петальными волокнами, либо коллатеральными аксонами нервных клеток коры, проецирующими в таламус). ТПСП второй группы возникали после трех и большего числа синаптических переключений.

Анализ продолжительности тормозных реакций, вызванных у нейронов M1 стимуляцией ВПЛЯ, показывает, что такие ответы делятся по этому признаку на три группы с граничными значениями, почти полностью совпадающими с таковыми, описанными выше при анализе продолжительности тормозных реакций, возникавших при раздражении волокон ПТ (см. рис. 4, б).

## Обсуждение

Приведенные результаты показывают, что антидромные ПД в ответ на раздражение волокон ПТ возникают у сравнительно небольшого числа (22,6%) обследованных нейронов M1, в то время как, по данным литературы, ПТ-нейроны составляют до 60% нервных клеток M1 [1]. Кроме того, отмеченное в нашем исследовании соотношение числа БПТ- и МПТ-нейронов (2 : 3) не соответствует данным морфологических экспериментов, согласно которым оно приблизительно составляет 1 : 3 — 1 : 4 [8, 16]. Так как при использованной нами сile

стимуляции возбуждается большинство аксонов ПТ, то следует полагать, что у значительной части ПТ-нейронов антидромный импульс не возбуждает суму, как было отмечено в литературе [6]. Надо иметь в виду также, что отсутствие антидромных ПД, скрытый период которых более 2,0 мс, у МПТ-нейронов может быть обусловлено активным торможением этих реакций развивающимися коротколатентными ТПСП (см. рис. 3, а, III), на что ранее указывали и другие исследователи [12, 13].

На основании полученных нами результатов, свидетельствующих о том, что 9,9 % обследованных нейронов отвечали антидромными ПД на раздражение ВПЛЯ, можно считать, что аксоны таких нервных клеток проецировались в это ядро. Девять из них были отнесены к ПТ-нейронам, а 13 являлись КТ-нервными клетками. Нельзя исключить, однако, что КТ-нейроны также представляют собой ПТ-нейроны, у которых не обнаружены по описанным выше причинам антидромные ПД в ответ на раздражение ПТ. Таким образом, представленные результаты еще раз подтверждают тот факт, что двигательная область коры головного мозга оказывает прямые влияния на релейное соматосенсорное ядро таламуса. Предполагают, что эти влияния регулируют передачу в кору кинестетической информации перед началом движения [15].

Возбудительные постсинаптические реакции на стимуляцию волокон ПТ обнаружены у 46,3 %, а на раздражение ВПЛЯ — у 48,2 % нейронов М1. Сопоставление этих значений, однако, не отражает количественных характеристик прямого афферентного и возвратного возбудительного входов к нейронам М1, так как при использованной силе стимуляции раздражалось большинство волокон ПТ и лишь небольшая часть нервных клеток ВПЛЯ.

Особый интерес представляют возникавшие в ответ на раздражение ПТ моносинаптические ВПСП (скрытый период до 2,4 мс), развивавшиеся вследствие проведения возбуждения по возвратным коллатералам БПТ-аксонов. Такие ВПСП возникали у БПТ- и МПТ-нейронов, что совпадает с данными, полученными на обезьянах [9], но противоречит данным [14], согласно которым у кошек возвратные ВПСП возникают у БПТ-нейронов только вследствие активации внутрекорковых коллатералей МПТ-аксонов. ВПСП (скрытый период 3,0—7,4 мс), составляющие вторую группу на гистограмме (см. рис. 3, а, I), также можно считать моносинаптическими, вызываемыми возбуждением возвратных коллатералей МПТ-аксонов. Таким образом, моносинаптические ВПСП составляли до 3/4 таких реакций на стимуляцию волокон ПТ. Они возникали у нейронов выхода из коры и нервных клеток без установленной проекции аксона, часть из которых составляют, вероятно, тормозящие интернейроны цепей возвратного торможения.

Эффективность возвратного возбудительного ортодромного входа у разных групп нейронов М1 неодинакова, о чем свидетельствует тот факт, что ответы на раздражение ПТ в виде одного или нескольких ортодромных ПД обнаружены у 30 % нейронов выхода и 68 % нейронов без установленной проекции аксона.

Значительная часть ВПСП (41 %) в реакциях нейронов М1 на раздражение ВПЛЯ возникает в результате моносинаптической активации корковых нейронов, главным образом, терминалами таламо-кортикальных волокон. В то же время нельзя исключить возможности возникновения части моносинаптических ВПСП вследствие возбуждения корковых нейронов коллатералами аксонов тех нервных клеток М1, которые проецируются в ВПЛЯ. Моносинаптические ВПСП возникали у нейронов без установленной проекции аксона (в том числе и у предполагаемых тормозящих интернейронов), у БПТ- и МПТ-нейронов, а также у КТ-нейронов. Таким образом, нейроны М1, как и нервные клетки соматосенсорной коры [5], участвующие в регуляции активности нейронов ВПЛЯ, получают прямые возбуждающие влияния из этого ядра. 59 % ВПСП, возникавших в ответ на раздражение ВПЛЯ, разви-

вались, вероятно, после двух и большего числа синаптических переключений в коре мозга. Эти результаты, а также то обстоятельство, что в ответ на раздражение ВПЛЯ 49,3 % нейронов M1 реагировали ортодромными ПД, показывают, что нейроны этой коры получают достаточно мощный афферентный вход, обусловленный, вероятно, импульсацией нервных клеток ВПЛЯ, передающих информацию от рецепторов сухожилий, мышц и суставных сумок [15].

Возникновение ди- и полисинаптических тормозных реакций на раздражение ПТ у 74,7 % и в ответ на стимуляцию ВПЛЯ у 94,4 % нейронов M1, обусловленное активацией интернейронов цепей возвратного и прямого афферентного торможения, указывает на важную роль торможения в регуляции входа в двигательную кору, дальнейшем распространении возбуждения и переработке поступающей сенсорной информации в нейронной сети, формировании активности нейронов выхода этой зоны коры мозга. Торможение выражалось развитием ТПСП и продолжающегося после окончания ТПСП у некоторых нейронов периода угнетения фоновой импульсной активности (см. рис. 1, a, II; б, I). Можно полагать, что такое угнетение фона представляет собой результат действия тормозящих посылок, поступающих к дистальным участкам дендритов корковых нейронов [4].

У 14 нейронов при раздражении ПТ и у 17 при стимуляции ВПЛЯ во время начальной фазы ТПСП возникали короткие деполяризационные колебания (см. рис. 1, a, II; б, IV), амплитуда которых в ряде случаев превышала амплитуду ТПСП и на вершинах которых могли возникать ПД. Эти обстоятельства позволяют присоединиться к высказанному ранее предположению, что эти деполяризационные колебания представляют собой ВПСП [10]. Появление таких ВПСП находит объяснение, если предположить, что в этих случаях ТПСП и ВПСП возникают в разных, достаточно удаленных друг от друга частях обследуемого нейрона и проводятся к месту отведения электротонически.

Анализ продолжительности тормозных реакций нейронов M1 на раздражение ПТ и ВПЛЯ позволил разделить эти ответы на три группы. При этом наиболее продолжительные (300—460 мс) тормозные реакции возникали на стимуляцию ПТ у нейронов верхних слоев M1, а на раздражение ВПЛЯ — у нейронов нижних слоев M1. Можно предположить, что продолжительность тормозных процессов в нейронах двигательной коры зависит от интенсивности тормозящих посылок и локализации тормозных синапсов на корковых нейронах. При этом наиболее продолжительное торможение отражает, по современным представлениям, охват этими процессами не только сомы, но и дендритов нервных клеток [4].

V. A. Radionov, V. F. Prokopenko

#### RESPONSES OF CAT MOTOR CORTEX NEURONS TO THE STIMULATION OF PYRAMIDAL TRACT AND THALAMIC VENTROPOSTEROLATERAL NUCLEUS

Responses of neurons of motor cortex evoked by stimulations of pyramidal tract (PT) and ventroposterolateral (VPL) nucleus of thalamus were studied in cats immobilized by Miorelaxin. Antidromic spikes were found in 22.6 % and in 9.9 % of cortical cells when PT and VPL were stimulated, respectively. Fast- and slow-conducting PT-neurones could be differentiated according to antidromic excitation latencies. PT stimulation evoked EPSPs in 46.3 % of studied neurones and VPL stimulation — in 48.2 % ones. Monosynaptic EPSPs were identified in responses of fast- and slow-conducting PT-units and of neurones projecting in VPL; mechanisms and functional role of such reactions are discussed. Di- and polysynaptic IPSPs were evoked in 74.5 % of units by PT stimulation and in 94.4 % — by VPL stimulation. Three groups of IPSPs were classified with durations to 120, 130-280 and more than 300 ms. Duration of PT-evoked IPSPs was higher in cortical neurones from surface layers and VPL-evoked ones — in units localized in deep layers.

A. A. Bogomoletz Institute of Physiology,  
Academy of Sciences of the Ukrainian SSR. Kiev